

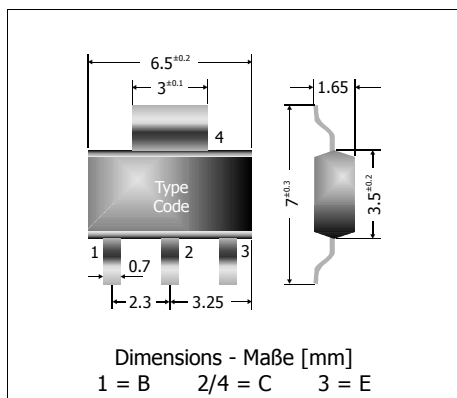
PZT2222 / PZT2222A

NPN

Surface Mount Si-Epitaxial Planar Switching Transistors
Si-Epitaxie-Planar-Schalttransistoren für die Oberflächenmontage

NPN

Version 2006-05-09



Power dissipation

1.3 W

Verlustleistung

SOT-223

Plastic case

Kunststoffgehäuse

Weight approx.

0.04 g

Gewicht ca.

Plastic material has UL classification 94V-0
Gehäusematerial UL94V-0 klassifiziertStandard packaging taped and reeled
Standard Lieferform gegurtet auf Rolle**Maximum ratings ($T_A = 25^\circ\text{C}$)****Grenzwerte ($T_A = 25^\circ\text{C}$)**

			PZT2222	PZT2222A
Collector-Emitter-volt. - Kollektor-Emitter-Spannung	E open	V_{CEO}	30 V	40 V
Collector-Base-volt. - Kollektor-Basis-Spannung	B open	V_{CBO}	60 V	75 V
Emitter-Base-voltage - Emitter-Basis-Spannung	C open	V_{EBO}	5 V	6 V
Power dissipation – Verlustleistung		P_{tot}	1.3 W ¹⁾	
Collector current – Kollektorstrom (dc)	I_C		600 mA	
Junction temperature – Sperrsichttemperatur Storage temperature – Lagerungstemperatur	T_j T_s		-55...+150°C -55...+150°C	

Characteristics ($T_j = 25^\circ\text{C}$)**Kennwerte ($T_j = 25^\circ\text{C}$)**

			Min.	Typ.	Max.
Collector-cutoff current – Kollektor-Reststrom	$I_E = 0, V_{CB} = 50 \text{ V}$	PZT2222 PZT2222A	I_{CBO} I_{CBO}	— —	20 nA 10 nA
$I_E = 0, V_{CB} = 50 \text{ V}, T_j = 150^\circ\text{C}$	PZT2222 PZT2222A	I_{CBO} I_{CBO}	— —	20 μA 10 μA	
Emitter-cutoff current – Emitter-Reststrom	$I_C = 0, V_{EB} = 3 \text{ V}$		I_{EBO}	— —	10 nA
Collector saturation voltage – Kollektor-Sättigungsspannung ²⁾	$I_C = 150 \text{ mA}, I_B = 15 \text{ mA}$	PZT2222 PZT2222A	V_{CEsat} V_{CEsat}	— —	0.4 V 0.3 V
$I_C = 500 \text{ mA}, I_B = 50 \text{ mA}$	PZT2222 PZT2222A	V_{CEsat} V_{CEsat}	— —	— —	1.6 V 1.0 V

- 1 Mounted on P.C. board with 3 mm^2 copper pad at each terminal
 Montage auf Leiterplatte mit 3 mm^2 Kupferbelag (Löt pad) an jedem Anschluss
 2 Tested with pulses $t_p = 300 \mu\text{s}$, duty cycle $\leq 2\%$ – Gemessen mit Impulsen $t_p = 300 \mu\text{s}$, Schaltverhältnis $\leq 2\%$

Characteristics ($T_j = 25^\circ\text{C}$)

	Kennwerte ($T_j = 25^\circ\text{C}$)		
	Min.	Typ.	Max.
Base saturation voltage – Basis-Sättigungsspannung ²⁾ $I_C = 150 \text{ mA}, I_B = 15 \text{ mA}$	PZT2222 PZT2222A	V_{BEsat} V_{BEsat}	– – 1.3 V 1.2 V
$I_C = 500 \text{ mA}, I_B = 50 \text{ mA}$	PZT2222 PZT2222A	V_{BEsat} V_{BEsat}	– – 2.6 V 2.0 V
DC current gain – Kollektor-Basis-Stromverhältnis $I_C = 0.1 \text{ mA}, V_{CE} = 10 \text{ V}$ $I_C = 1 \text{ mA}, V_{CE} = 10 \text{ V}$ $I_C = 10 \text{ mA}, V_{CE} = 10 \text{ V}$ $I_C = 150 \text{ mA}, V_{CE} = 10 \text{ V}$ ²⁾		h_{FE} h_{FE} h_{FE} h_{FE}	35 50 75 100 – – – 300
$I_C = 500 \text{ mA}, V_{CE} = 10 \text{ V}$ ²⁾	PZT2222 PZT2222A	h_{FE} h_{FE}	30 40 – – – –
Gain-Bandwidth Product – Transitfrequenz $I_C = 20 \text{ mA}, V_{CE} = 20 \text{ V}, f = 100 \text{ MHz}$		f_T	200 MHz – –
Collector-Base Capacitance – Kollektor-Basis-Kapazität $V_{CB} = 10 \text{ V}, I_E = i_e = 0, f = 1 \text{ MHz}$		C_{CBO}	– – 8 pF
Emitter-Base Capacitance – Emitter-Basis-Kapazität $V_{EB} = 0.5 \text{ V}, I_C = i_c = 0, f = 1 \text{ MHz}$		C_{EBO}	– – 30 pf
Switching times – Schaltzeiten delay time rise time storage time fall time	$I_{Con} = 150 \text{ mA}$ $I_{Bon} = 15 \text{ mA}$ - $I_{Boff} = 15 \text{ mA}$	t_d t_r t_s t_f	– – – – 10 ns 25 ns 225 ns 60 ns
Thermal resistance junction to ambient air Wärmewiderstand Sperrsicht – umgebende Luft		R_{thA}	< 93 K/W ¹⁾
Thermal resistance junction to soldering point Wärmewiderstand Sperrsicht – Lötpad		R_{thS}	< 27 K/W
Recommended complementary PNP transistors Empfohlene komplementäre PNP-Transistoren			PZT2907, PZT2907A

2 Tested with pulses $t_p = 300 \mu\text{s}$, duty cycle $\leq 2\%$ – Gemessen mit Impulsen $t_p = 300 \mu\text{s}$, Schaltverhältnis $\leq 2\%$

1 Mounted on P.C. board with 3 mm^2 copper pad at each terminal
Montage auf Leiterplatte mit 3 mm^2 Kupferbelag (Lötpad) an jedem Anschluss